

Polar 符号とその研究動向

森 立平

京都大学 大学院 情報学研究科

2011 年 11 月 30 日

Contents

■ Polar 符号と通信路分極現象 [Arıkan 2008]

■ Polar 符号に関する研究紹介 I(polar 符号の性質)

1. Polar 符号の漸近的誤り確率 [Arıkan and Telatar 2008]
2. Polar 符号の $\ell \times \ell$ 行列への一般化 [Korada, Şaşoğlu, and Urbanke 2009]
3. 密度発展法を用いた polar 符号の構成 [Mori and Tanaka 2009]
4. Polar 符号の compound capacity [Hassani, Korada, and Urbanke 2009]
5. 多元 (素体) polar 符号 [Şaşoğlu, Telatar, and Arıkan 2009]
6. 多元 (一般の有限体) polar 符号と Reed-Solomon 行列 [Mori and Tanaka 2010]
7. Polar 符号のより詳細な漸近的誤り確率 [Tanaka and Mori 2010] [Hassani and Urbanke 2010] [Hassani, Mori, Tanaka, and Urbanke 2011]
8. Polar 符号の誤り確率のスケーリング [Korada, Montanari, Telatar, and Urbanke 2010] [Hassani, Alishahi, and Urbanke 2010]
9. Polar 符号の重み分布 [Mori and Urbanke]

■ Polar 符号に関する研究紹介 II(復号法とアプリケーション)

Polar 符号と 通信路分極現象

Polar 符号とは

Polar 符号 [Arikan 2008] とは

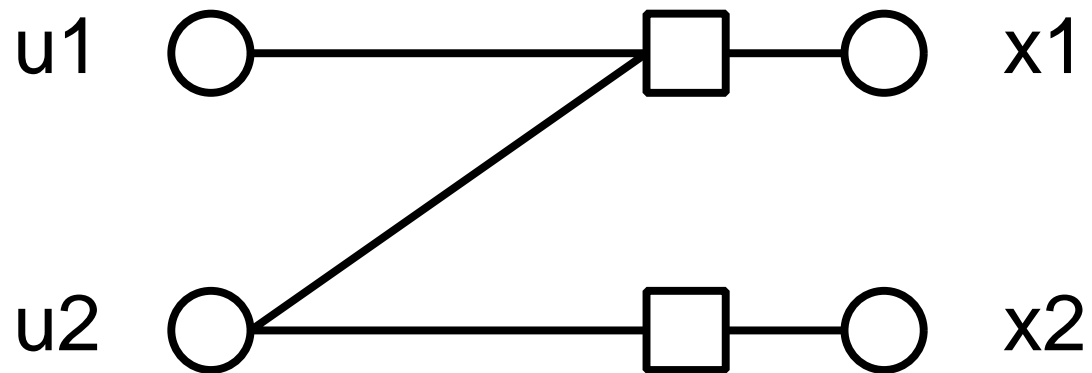
- 任意の二元離散無記憶通信路 (B-DMC) W で対称通信路容量 $I(W)$ を達成することが証明されている
- 符号化、復号の計算量が $O(N \log N)$ (N は符号長)
- 任意の $R < I(W)$ と $\epsilon > 0$ について、 $P_e = o\left(2^{-N^{\frac{1}{2}-\epsilon}}\right)$

B-DMC W の対称通信路容量 $I(W)$

$$I(W) := \sum_{y \in \mathcal{Y}} \sum_{x \in \mathcal{X}} \frac{1}{2} W(y | x) \log \frac{W(y | x)}{\frac{1}{2} W(y | 0) + \frac{1}{2} W(y | 1)}$$

Polar 符号の生成行列

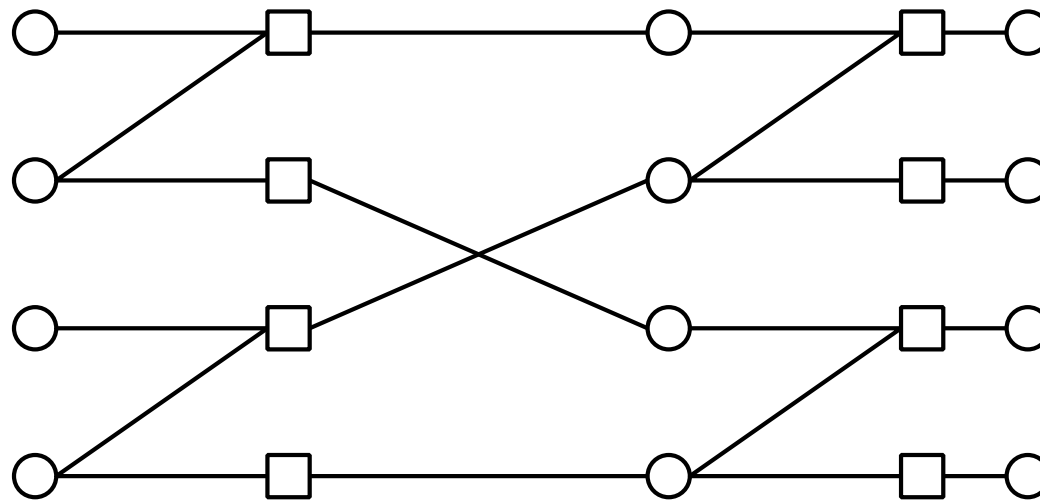
$$G_2 = \begin{bmatrix} 1 & 0 \\ 1 & 1 \end{bmatrix}$$



$$\begin{bmatrix} u_1 & u_2 \end{bmatrix} \begin{bmatrix} 1 & 0 \\ 1 & 1 \end{bmatrix} = \begin{bmatrix} x_1 & x_2 \end{bmatrix}$$

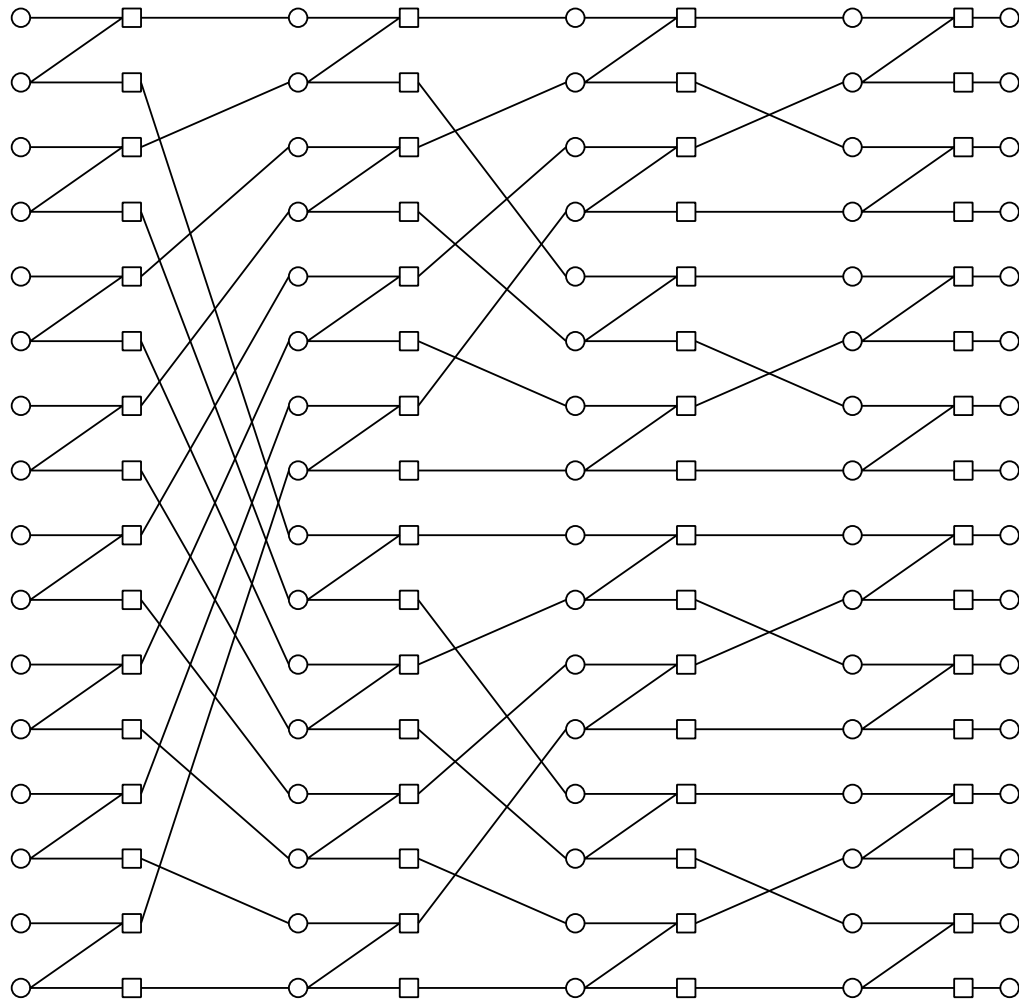
Polar 符号の生成行列

$$G_4 = \begin{bmatrix} 1 & 0 & 0 & 0 \\ 0 & 0 & 1 & 0 \\ 0 & 1 & 0 & 0 \\ 0 & 0 & 0 & 1 \end{bmatrix} \begin{bmatrix} 1 & 0 \\ 1 & 1 \end{bmatrix}^{\otimes 2} = \begin{bmatrix} 1 & 0 & 0 & 0 \\ 1 & 0 & 1 & 0 \\ 1 & 1 & 0 & 0 \\ 1 & 1 & 1 & 1 \end{bmatrix}$$

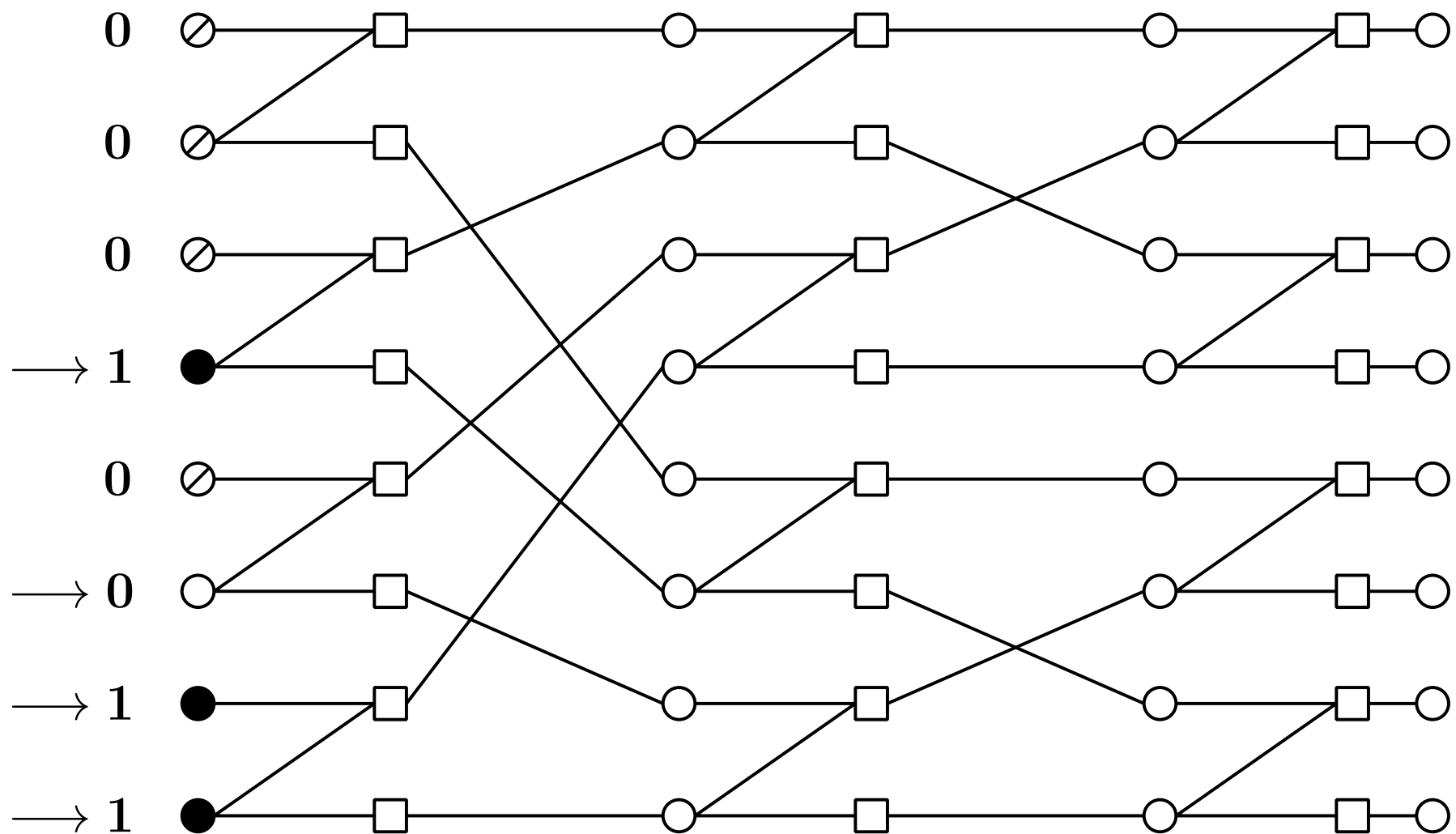


Polar 符号の生成行列

$$G_{2^n} = (I_{2^{n-1}} \otimes G_2) R_{2^n} (I_2 \otimes G_{2^{n-1}}) = B_{2^n} G_2^{\otimes n}$$

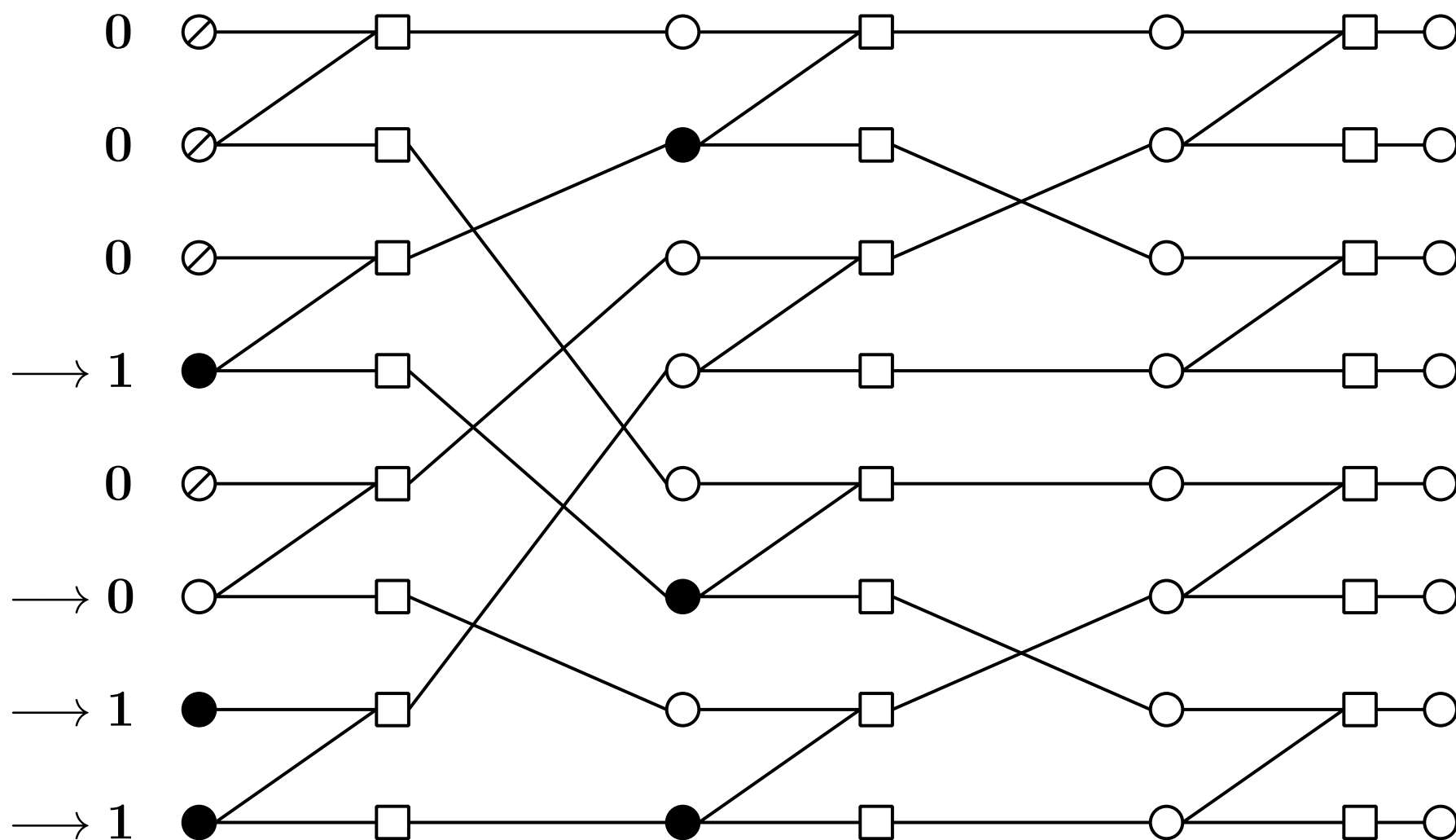


Polar 符号の符号化



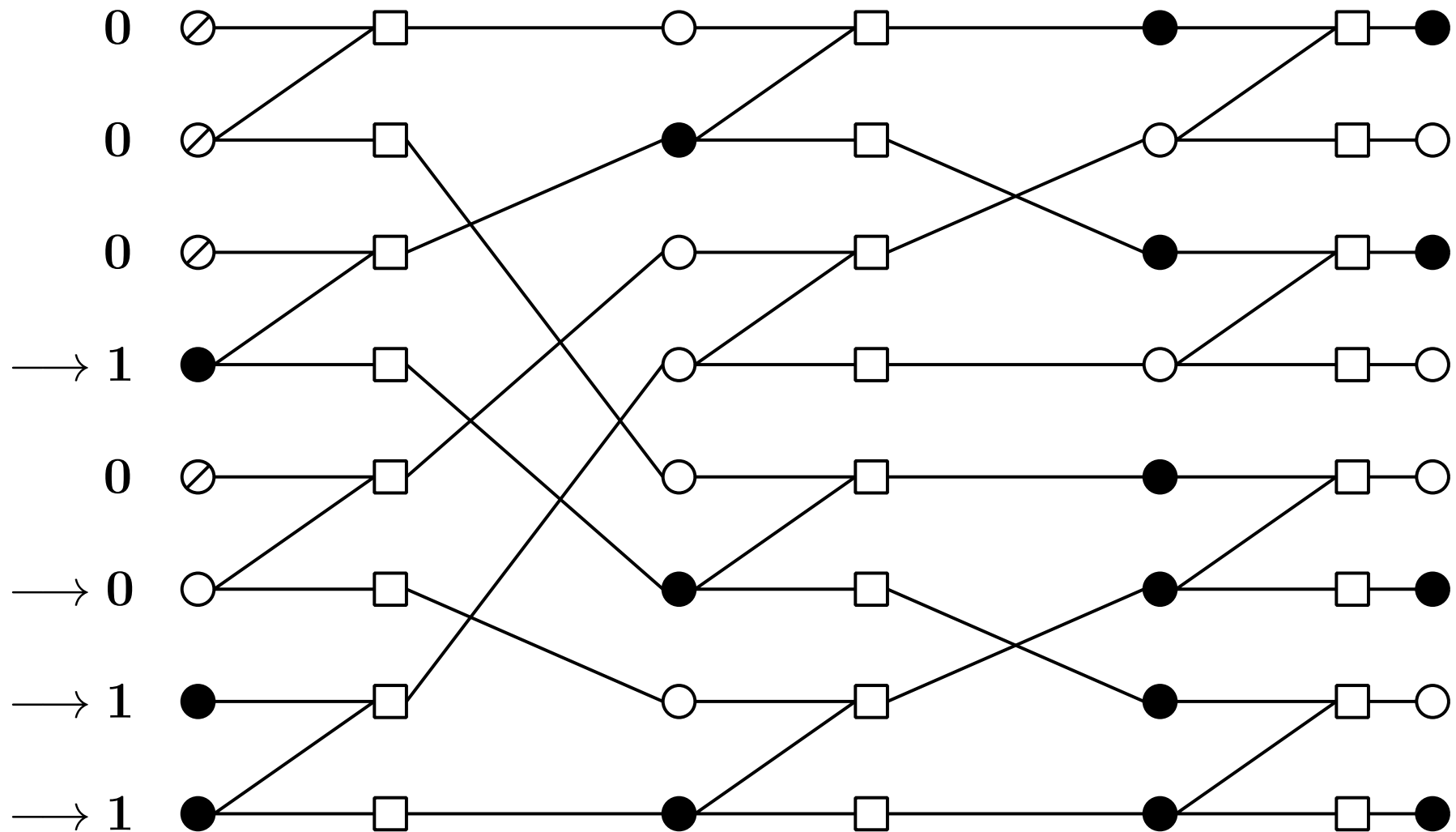
⊘ : 凍結ビット

Polar 符号の符号化



⊘ : 凍結ビット

Polar 符号の符号化



符号化の計算量 \propto チェックノードの数 $= O(N \log N)$

Polar 符号の復号

Successive cancellation (SC) decoding

インデックスが小さなビットから **順番に** 硬判定

F : 凍結ビットのインデックスの集合

$i \in F$ のとき

$$\hat{U}_i(y_1^N, \hat{u}_1^{i-1}) = 0$$

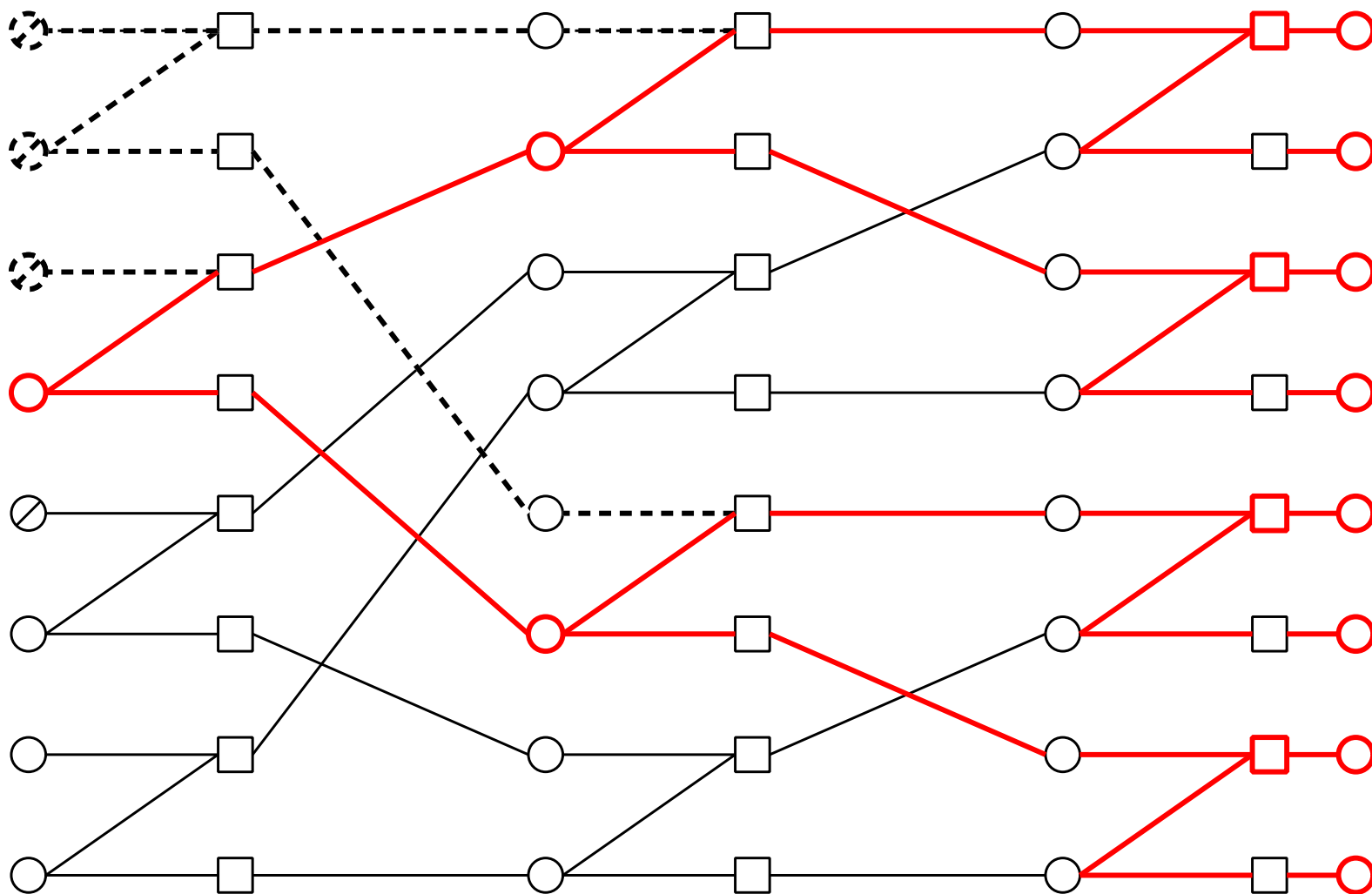
$i \notin F$ のとき

$$\hat{U}_i(y_1^N, \hat{u}_1^{i-1}) = \operatorname{argmax}_{u_i=0,1} W_N^{(i)}(y_1^N, \hat{u}_1^{i-1} \mid u_i)$$

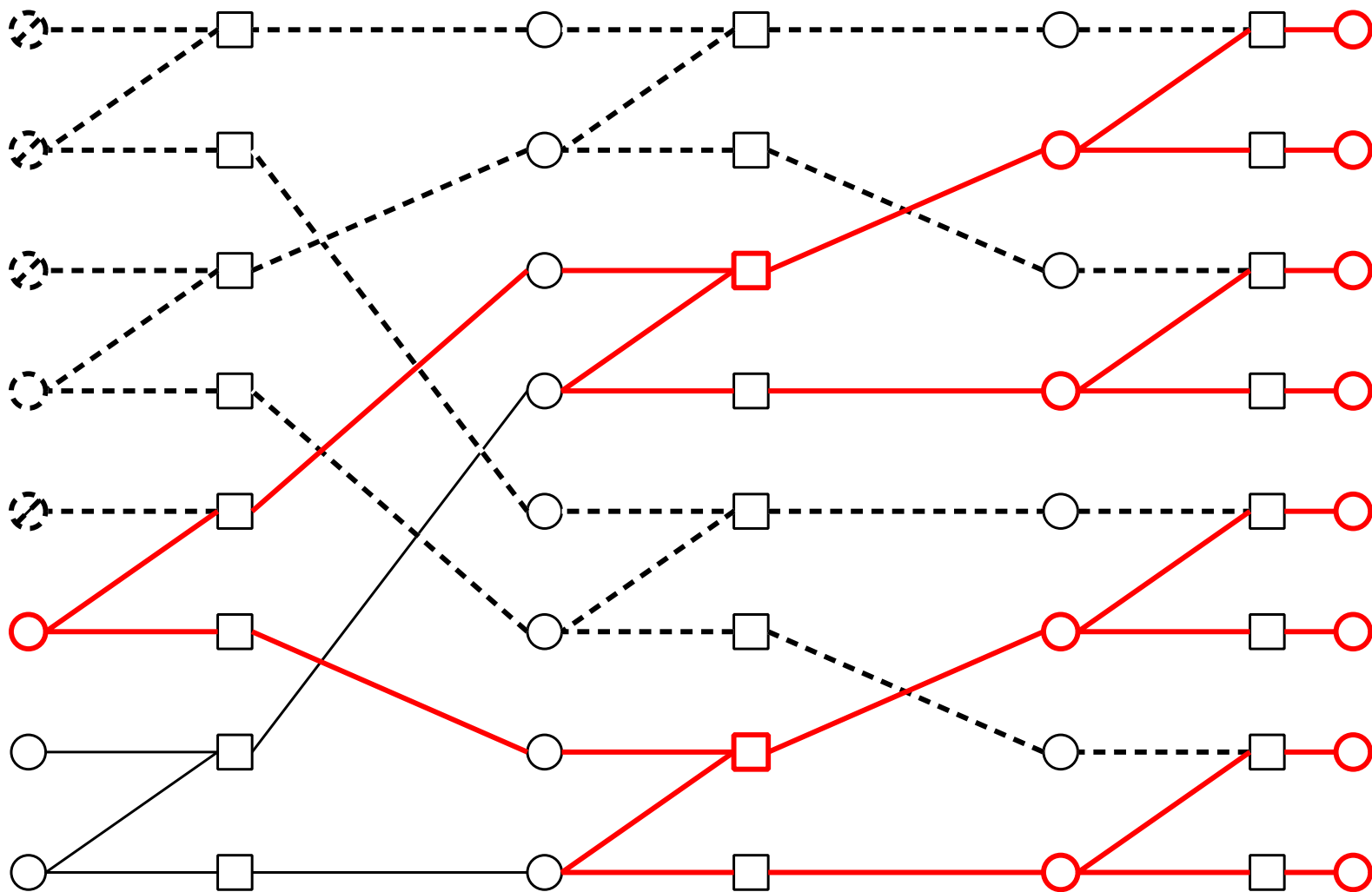
$W_N^{(i)}$ は i 番目のサブチャネル

$$W_N^{(i)}(y_1^N, u_1^{i-1} \mid u_i) := \frac{1}{2^{N-1}} \sum_{u_{i+1}^N} W^N(y_1^N \mid u_1^N G_N).$$

Polar 符号の復号



Polar 符号の復号



木の上で $ML \iff$ belief propagation (BP) で計算可能

疑問

- 何故これで対称通信路容量を達成できるのか？
- どのビットを情報ビットとして選べばよいのか



分極現象

分極現象

- (U_1^N, Y_1^N) : $W^N(y_1^N | u_1^N G_N)/2^N$ に従う 確率変数

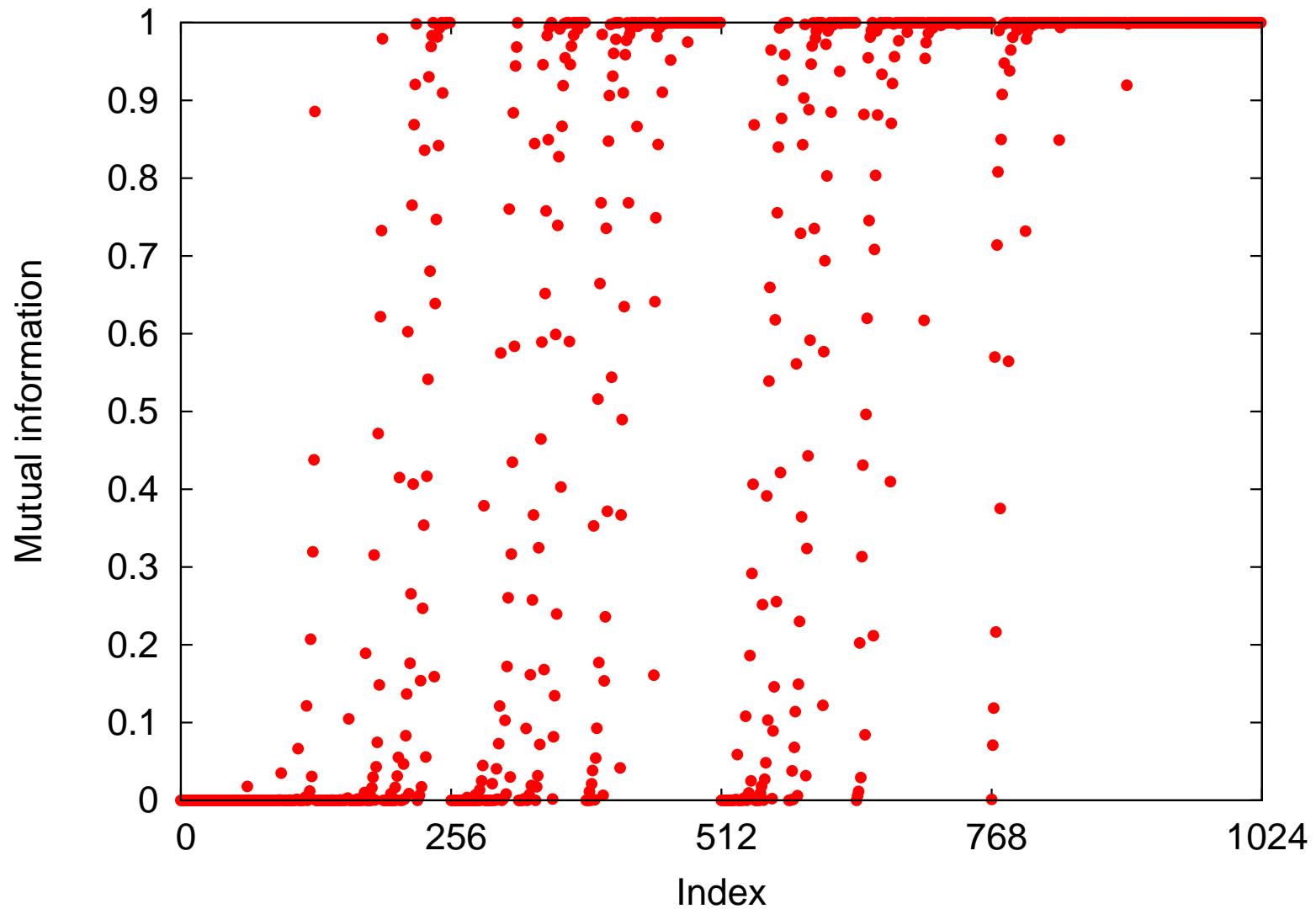
$$NI(W) = I(U_1^N; Y_1^N) = \sum_{i=1}^N I(Y_1^N, U_1^{i-1}; U_i) = \sum_{i=1}^N I(W_N^{(i)})$$

このとき右辺の N 個の相互情報量は
ほぼ 0 のものと、ほぼ 1 のものに **分極**

$$\lim_{N \rightarrow \infty} \frac{\left| \left\{ i \in \{1, \dots, N\} \mid \epsilon < I(W_N^{(i)}) < 1 - \epsilon \right\} \right|}{N} = 0$$

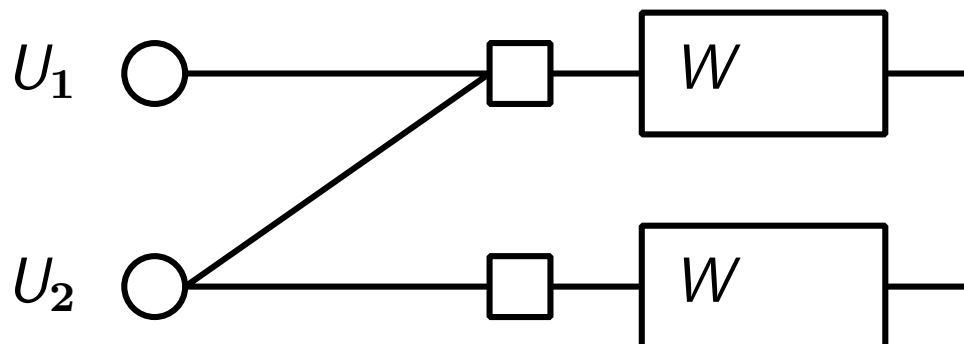
ほぼ 1 のものは $NI(W)$ 、ほぼ 0 のものは $N(1 - NI(W))$

分極現象

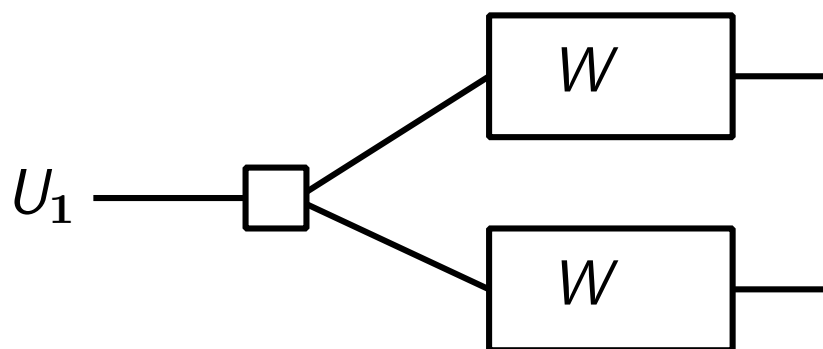


通信路は $\text{BEC}(0.4)$ 、通信路容量は 0.6、符号長は 1024

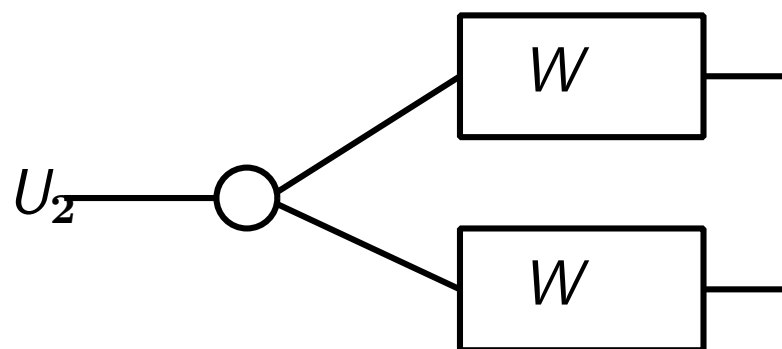
通信路分離と通信路結合



$$2I(W) = I(W^{(0)}) + I(W^{(1)})$$



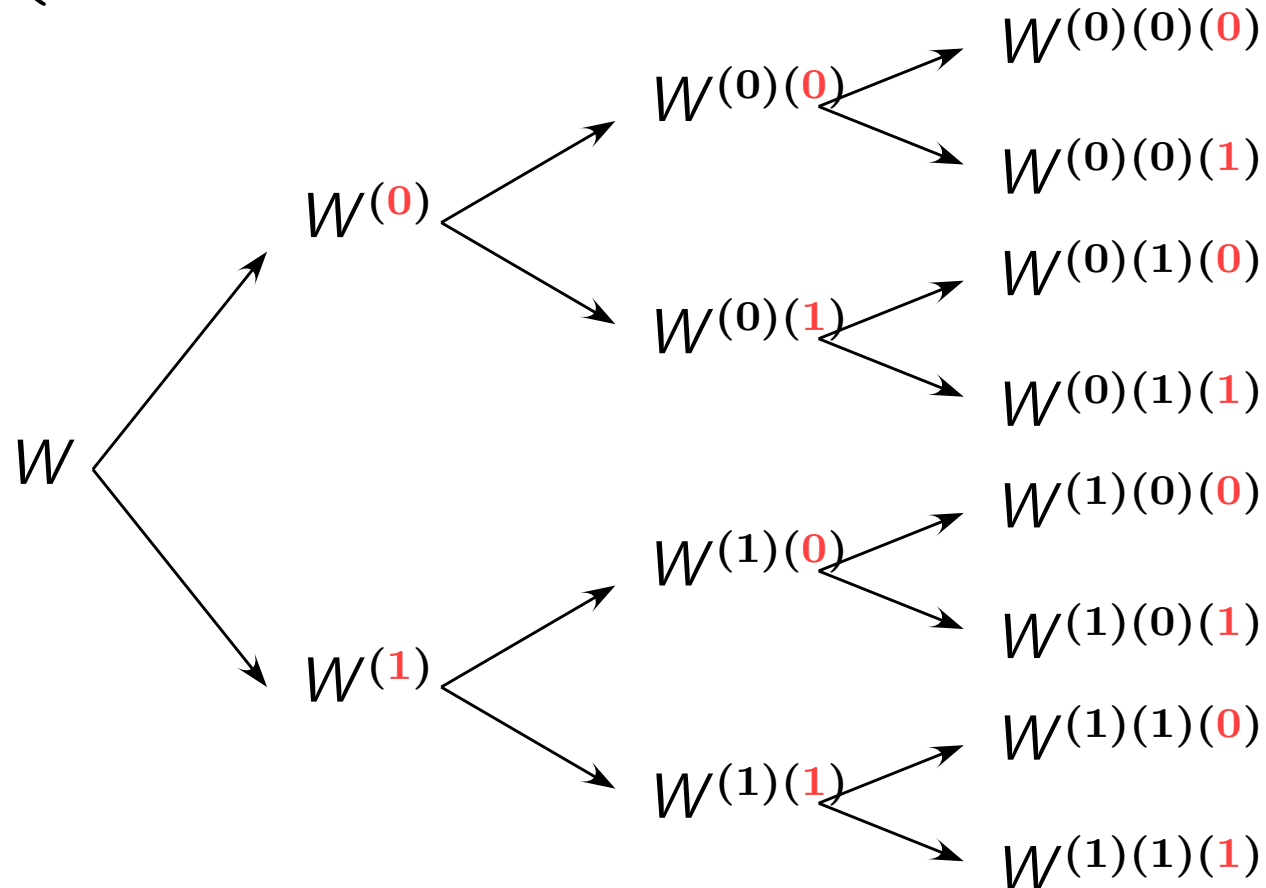
$$W^{(0)}(y_1, y_2 \mid u_1)$$



$$W^{(1)}(y_1, y_2, u_1 \mid u_2)$$

Random process $\{W_n\}$ of DMC

$$W_n := \begin{cases} W_{n-1}^{(0)} & \text{w.p. } \frac{1}{2} \\ W_{n-1}^{(1)} & \text{w.p. } \frac{1}{2} \end{cases}, \quad W_0 := W \quad \text{w.p. } 1$$



Polarization: $I(W_n) \rightarrow I_\infty = \begin{cases} 0, & \text{w.p. } 1 - I(W) \\ 1, & \text{w.p. } I(W) \end{cases} \quad \text{almost surely}$

マルチンゲール

$$\mathbb{E}[X_n \mid X_{n-1}, \dots, X_0] = X_{n-1}$$

例 1)

$$X_0 = 0 \quad \text{w.p. } 1$$
$$X_n = \begin{cases} X_{n-1} + 1 & \text{w.p. } \frac{1}{2} \\ X_{n-1} - 1 & \text{w.p. } \frac{1}{2} \end{cases}$$

例 2)

$$X_0 = 30, \quad \text{w.p. } 1$$
$$X_n = \begin{cases} X_{n-1} + 1 & \text{w.p. } \frac{1}{2} \\ X_{n-1} - 1 & \text{w.p. } \frac{1}{2} \end{cases}, \quad \text{if } X_{n-1} \neq 0, 100$$
$$X_n = X_{n-1}, \quad \text{if } X_{n-1} = 0, 100$$

マルチンゲールの収束定理

もし $\sup_n \mathbb{E}[|X_n|] < \infty$ ならば確率変数 X_∞ が存在して X_n は X_∞ に概収束する

例 1)
適用不可能

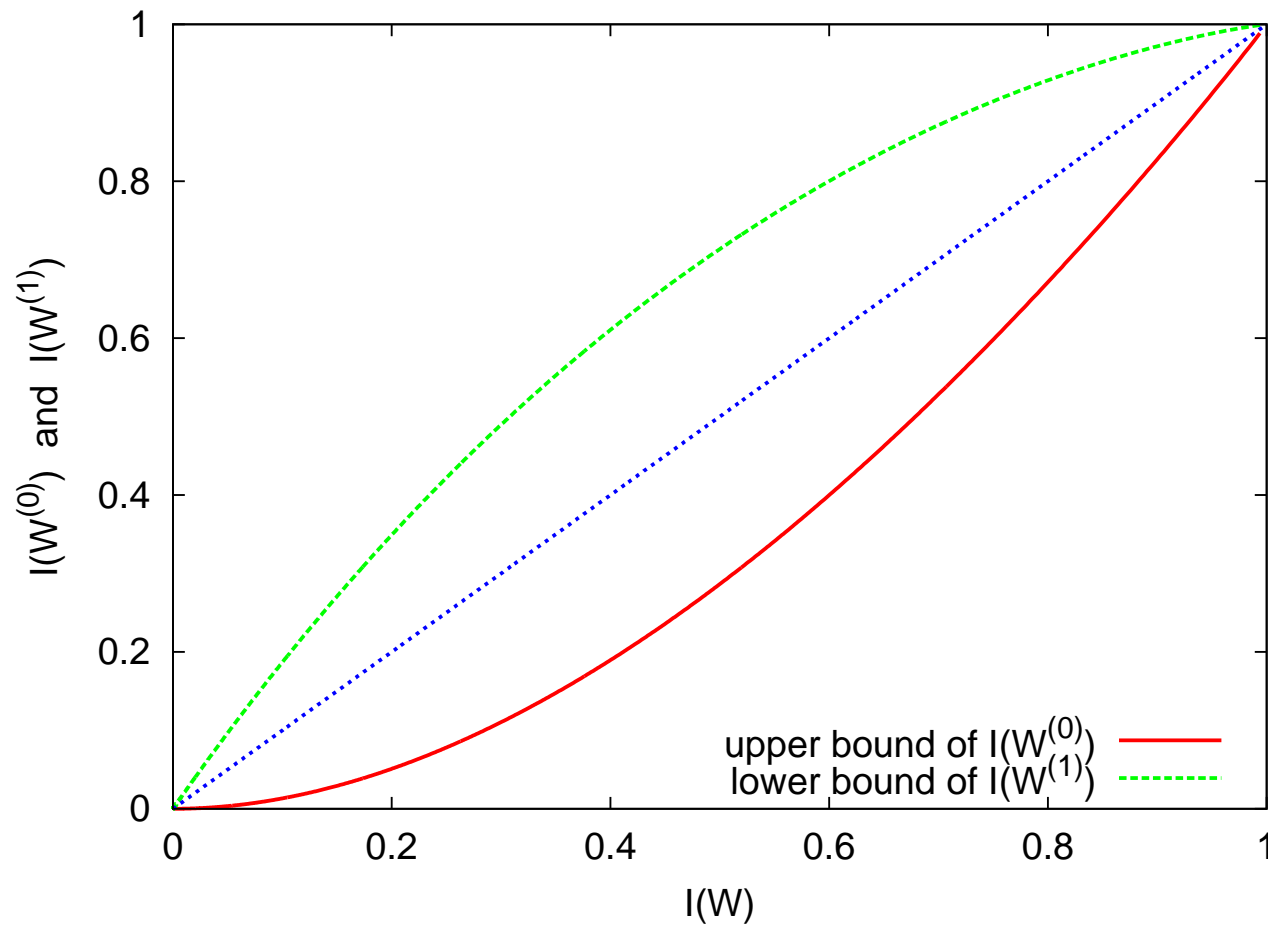
例 2)
 $X_n \geq 0$ なので適用可能

$$X_\infty \in \{0, 100\} \quad \text{w.p. } 1$$

X_n は有界なので $\mathbb{E}[X_\infty] = \lim_{n \rightarrow \infty} \mathbb{E}[X_n] = 30$
よって、

$$X_\infty = \begin{cases} 0, & \text{w.p. } 0.7 \\ 100, & \text{w.p. } 0.3 \end{cases}$$

分極の証明



0 と 1 以外は収束先に成り得ない

Polarization:
$$I(W_n) \rightarrow I_\infty = \begin{cases} 0, & \text{w.p. } 1 - I(W) \\ 1, & \text{w.p. } I(W) \end{cases} \quad \text{almost surely}$$

誤り 確率の評価

$$\begin{aligned}\mathcal{B}_i &:= \{ u_1^N, y_1^N \mid \hat{u}_1^{i-1} = u_1^{i-1}, \hat{U}_i(y_1^N, \hat{u}_1^{i-1}) \neq u_i \} \\ &\subseteq \{ u_1^N, y_1^N \mid \hat{U}_i(y_1^N, u_1^{i-1}) \neq u_i \} =: \mathcal{A}_i.\end{aligned}$$

$$P_{\text{error}}(F) = \Pr \left(\bigcup_{i \in F^c} \mathcal{B}_i \right) = \sum_{i \in F^c} \Pr(\mathcal{B}_i) \leq \sum_{i \in F^c} \Pr(\mathcal{A}_i) = \sum_{i \in F^c} P_e(W_N^{(i)})$$

ある関数 $f(N) = o(1/N)$ について

$$\lim_{n \rightarrow \infty} \frac{\left| \left\{ i \in \{1, \dots, N\} \mid P_e(W_N^{(i)}) < f(N) \right\} \right|}{N} = I(W)$$

が言えればよい

対称通信路容量を達成することの証明

$$Z(W) := \sum_{y \in \mathcal{Y}} \sqrt{W(y | 0) W(y | 1)}$$

$$I(W) \approx 0 \iff Z(W) \approx 1$$

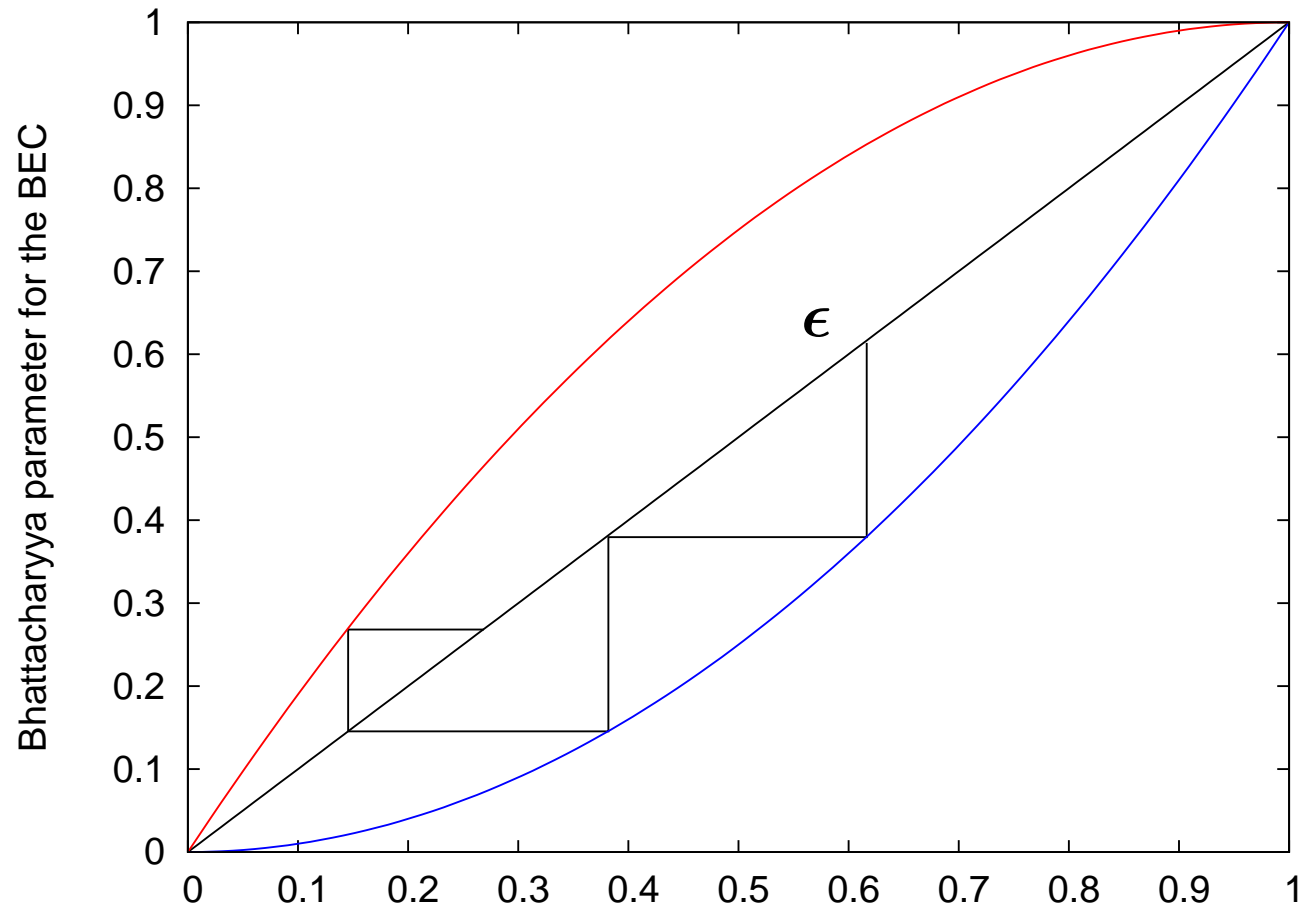
$$I(W) \approx 1 \iff Z(W) \approx 0$$

$$Z(W) \geq P_e(W) \geq \frac{1}{2} Z(W)^2$$

$$\lim_{n \rightarrow \infty} \frac{\left| \left\{ i \in \{1, \dots, N\} \mid Z(W_N^{(i)}) < N^{-\frac{5}{4}} \right\} \right|}{N} = I(W) \quad [\text{Arıkan 2008}]$$

これらの結果から任意の $R < I(W)$ について
polar 符号のブロック誤り確率は $O(N^{-\frac{1}{4}})$

Bhattacharyya 定数 for BEC(ϵ)



$$Z_n = \begin{cases} Z_{n-1}^2, & \text{if } B_n = 1 \\ 1 - (1 - Z_{n-1})^2, & \text{if } B_n = 0 \end{cases}$$

Contents

■ Polar 符号と通信路分極現象 [Arıkan 2008]

■ Polar 符号に関する研究紹介 I(polar 符号の性質)

1. Polar 符号の漸近的誤り 確率 [Arıkan and Telatar 2008]
2. Polar 符号の $\ell \times \ell$ 行列への一般化 [Korada, Şaşıoğlu, and Urbanke 2009]
3. 密度発展法を用いた polar 符号の構成 [Mori and Tanaka 2009]
4. Polar 符号の compound capacity [Hassani, Korada, and Urbanke 2009]
5. 多元 (素体) polar 符号 [Şaşıoğlu, Telatar, and Arıkan 2009]
6. 多元 (一般の有限体) polar 符号と Reed-Solomon 行列 [Mori and Tanaka 2010]
7. Polar 符号のより詳細な漸近的誤り 確率 [Tanaka and Mori 2010] [Hassani and Urbanke 2010] [Hassani, Mori, Tanaka, and Urbanke 2011]
8. Polar 符号の誤り 確率のスケーリング [Korada, Montanari, Telatar, and Urbanke 2010] [Hassani, Alishahi, and Urbanke 2010]
9. Polar 符号の重み分布 [Mori and Urbanke]

■ Polar 符号に関する研究紹介 II(復号法とアプリケーション)

Polar 符号の漸近的誤り 確率

[Arikan and Telatar 2008]

任意の $\beta < \frac{1}{2}$ について

$$\lim_{n \rightarrow \infty} \Pr \left(Z(W_n) < 2^{-N^\beta} \right) = I(W)$$

任意の $\beta > \frac{1}{2}$ について

$$\lim_{n \rightarrow \infty} \Pr \left(Z(W_n) < 2^{-N^\beta} \right) = 0$$

これらのことから polar 符号の誤り 確率は $o \left(2^{-N^{\frac{1}{2}-\epsilon}} \right)$ かつ $\omega \left(2^{-N^{\frac{1}{2}+\epsilon}} \right)$ for any $\epsilon > 0$.

Contents

■ Polar 符号と通信路分極現象 [Arıkan 2008]

■ Polar 符号に関する研究紹介 I(polar 符号の性質)

1. Polar 符号の漸近的誤り確率 [Arıkan and Telatar 2008]
2. Polar 符号の $\ell \times \ell$ 行列への一般化 [Korada, Şaşıoğlu, and Urbanke 2009]
3. 密度発展法を用いた polar 符号の構成 [Mori and Tanaka 2009]
4. Polar 符号の compound capacity [Hassani, Korada, and Urbanke 2009]
5. 多元 (素体) polar 符号 [Şaşıoğlu, Telatar, and Arıkan 2009]
6. 多元 (一般の有限体) polar 符号と Reed-Solomon 行列 [Mori and Tanaka 2010]
7. Polar 符号のより詳細な漸近的誤り確率 [Tanaka and Mori 2010] [Hassani and Urbanke 2010] [Hassani, Mori, Tanaka, and Urbanke 2011]
8. Polar 符号の誤り確率のスケーリング [Korada, Montanari, Telatar, and Urbanke 2010] [Hassani, Alishahi, and Urbanke 2010]
9. Polar 符号の重み分布 [Mori and Urbanke]

■ Polar 符号に関する研究紹介 II(復号法とアプリケーション)

行列の指数

Polar 符号の基になる 2×2 行列 $\begin{bmatrix} 1 & 0 \\ 1 & 1 \end{bmatrix}$ を一般化して

$\ell \times \ell$ 行列 G に基づいた polar 符号を考える
そのとき

任意の定数 $\beta < E(G)$ について

$$\lim_{n \rightarrow \infty} \Pr(Z(W_n) \leq 2^{-N^\beta}) = I(W)$$

また、任意の定数 $\beta > E(G)$ について

$$\lim_{n \rightarrow \infty} \Pr(Z(W_n) \geq 2^{-N^\beta}) = 1$$

となるような $E(G) \in [0, 1)$ を行列 G の指数と呼ぶ

Polar 符号の誤り 指数

[Korada, Şaşıoğlu and Urbanke 2009]

$$E(G) = \frac{1}{\ell} \sum_{i=1}^{\ell} \log_{\ell} D_i$$

$\ell \times \ell$ 行列 G について 部分距離 D_i を以下のように定める

$$D_i := d(g_i, \langle g_{i+1}, \dots, g_{\ell} \rangle), \quad i = 1, \dots, \ell - 1$$

$$D_{\ell} := d(g_{\ell}, 0)$$

ただし g_i は G の i 行目、 $\langle g_i, \dots, g_{\ell} \rangle$ は g_i, \dots, g_{ℓ} で張られる部分符号

例

$$\begin{bmatrix} 1 & 0 & 0 \\ 1 & 0 & 1 \\ 1 & 1 & 1 \end{bmatrix}$$

について $D_1 = 1, D_2 = 1, D_3 = 3$

Polar 符号の誤り 指数

$$E(G) = \frac{1}{\ell} \sum_{i=1}^{\ell} \log_{\ell} D_i$$

また、

$$E_{\ell} := \max_{G \in \{0,1\}^{\ell \times \ell}} E(G) \quad \text{について} \quad \lim_{\ell \rightarrow \infty} E_{\ell} = 1$$

が成り立つ

特に、 $\ell \leq 14$ のとき $E_{\ell} \leq \frac{1}{2}$ だが $E_{16} = 0.51828 > \frac{1}{2}$ となる

[Korada, Şaşıoğlu, and Urbanke 2009]

Contents

■ Polar 符号と通信路分極現象 [Arıkan 2008]

■ Polar 符号に関する研究紹介 I(polar 符号の性質)

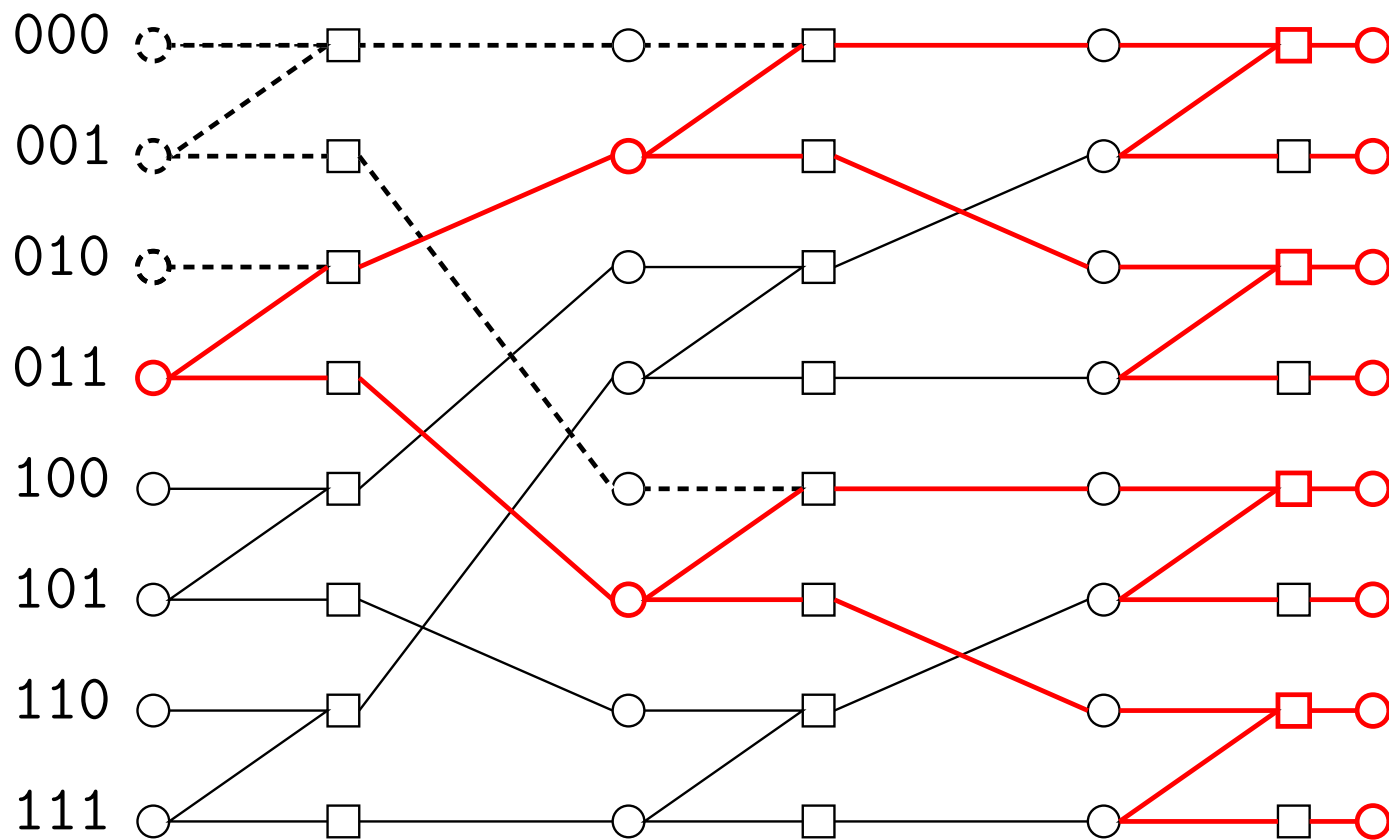
1. Polar 符号の漸近的誤り確率 [Arıkan and Telatar 2008]
2. Polar 符号の $\ell \times \ell$ 行列への一般化 [Korada, Şaşıoğlu, and Urbanke 2009]
3. 密度発展法を用いた polar 符号の構成 [Mori and Tanaka 2009]
4. Polar 符号の compound capacity [Hassani, Korada, and Urbanke 2009]
5. 多元 (素体) polar 符号 [Şaşıoğlu, Telatar, and Arıkan 2009]
6. 多元 (一般の有限体) polar 符号と Reed-Solomon 行列 [Mori and Tanaka 2010]
7. Polar 符号のより詳細な漸近的誤り確率 [Tanaka and Mori 2010] [Hassani and Urbanke 2010] [Hassani, Mori, Tanaka, and Urbanke 2011]
8. Polar 符号の誤り確率のスケーリング [Korada, Montanari, Telatar, and Urbanke 2010] [Hassani, Alishahi, and Urbanke 2010]
9. Polar 符号の重み分布 [Mori and Urbanke]

■ Polar 符号に関する研究紹介 II(復号法とアプリケーション)

ブロック誤り確率

$$P_e(F) \leq \sum_{i \in F^c} P_e(W_N^{(i)}) \leq \frac{1}{2} \sum_{i \in F^c} Z(W_N^{(i)})$$

$Z(W_N^{(i)})$ の代わりに $P_e(W_N^{(i)})$ を直接評価



密度発展法

$$\Pr(\mathcal{A}_i) = \mathfrak{E}(a_N^i),$$

where

$$\mathfrak{E}(a) := \lim_{\epsilon \rightarrow +0} \left(\int_{-\infty}^{-\epsilon} a(x) dx + \frac{1}{2} \int_{-\epsilon}^{+\epsilon} a(x) dx \right),$$

$$\begin{aligned} a_{2N}^{2i} &= a_N^i \star a_N^i, \\ a_{2N}^{2i-1} &= a_N^i \boxtimes a_N^i, \\ a_1^1 &= a_W. \end{aligned}$$

$\chi(N)$: $\{a_N^i(x)\}_{i=1,\dots,N}$ を計算するのに必要な畳み込み演算 (\star , \boxtimes) の回数

$$\chi(N) = N + \chi\left(\frac{N}{2}\right) = N + \frac{N}{2} + \frac{N}{4} + \cdots + 1 = O(N).$$

[Mori and Tanaka 2009]

Contents

■ Polar 符号と通信路分極現象 [Arıkan 2008]

■ Polar 符号に関する研究紹介 I(polar 符号の性質)

1. Polar 符号の漸近的誤り確率 [Arıkan and Telatar 2008]
2. Polar 符号の $\ell \times \ell$ 行列への一般化 [Korada, Şaşıoğlu, and Urbanke 2009]
3. 密度発展法を用いた polar 符号の構成 [Mori and Tanaka 2009]
4. Polar 符号の compound capacity [Hassani, Korada, and Urbanke 2009]
5. 多元 (素体) polar 符号 [Şaşıoğlu, Telatar, and Arıkan 2009]
6. 多元 (一般の有限体) polar 符号と Reed-Solomon 行列 [Mori and Tanaka 2010]
7. Polar 符号のより詳細な漸近的誤り確率 [Tanaka and Mori 2010] [Hassani and Urbanke 2010] [Hassani, Mori, Tanaka, and Urbanke 2011]
8. Polar 符号の誤り確率のスケーリング [Korada, Montanari, Telatar, and Urbanke 2010] [Hassani, Alishahi, and Urbanke 2010]
9. Polar 符号の重み分布 [Mori and Urbanke]

■ Polar 符号に関する研究紹介 II(復号法とアプリケーション)

Polar 符号の compound capacity

[Hassani, Korada, and Urbanke 2009]

\mathcal{W} : 通信路の集合

$$C(\mathcal{W}) = \max_{P_X} \inf_{W \in \mathcal{W}} I(X; Y)$$

Polar 符号を SC 復号したときの compound capacity は

$$\lim_{N \rightarrow \infty} \sum_{i=1}^N \inf_{W \in \mathcal{W}} I(W_N^{(i)})$$

BEC(0.5) と BSC(0.11002) の場合は約 0.4816

Contents

■ Polar 符号と通信路分極現象 [Arıkan 2008]

■ Polar 符号に関する研究紹介 I(polar 符号の性質)

1. Polar 符号の漸近的誤り確率 [Arıkan and Telatar 2008]
2. Polar 符号の $\ell \times \ell$ 行列への一般化 [Korada, Şaşıoğlu, and Urbanke 2009]
3. 密度発展法を用いた polar 符号の構成 [Mori and Tanaka 2009]
4. Polar 符号の compound capacity [Hassani, Korada, and Urbanke 2009]
5. 多元 (素体) polar 符号 [Şaşıoğlu, Telatar, and Arıkan 2009]
6. 多元 (一般の有限体) polar 符号と Reed-Solomon 行列 [Mori and Tanaka 2010]
7. Polar 符号のより詳細な漸近的誤り確率 [Tanaka and Mori 2010] [Hassani and Urbanke 2010] [Hassani, Mori, Tanaka, and Urbanke 2011]
8. Polar 符号の誤り確率のスケーリング [Korada, Montanari, Telatar, and Urbanke 2010] [Hassani, Alishahi, and Urbanke 2010]
9. Polar 符号の重み分布 [Mori and Urbanke]

■ Polar 符号に関する研究紹介 II(復号法とアプリケーション)

多元 polar 符号

有限環 $\mathbb{Z}/q\mathbb{Z}$ 上の行列

$$\begin{bmatrix} 1 & 0 \\ 1 & 1 \end{bmatrix}$$

での分極を考える

q が素数のとき 任意の通信路が分極し、 q が非素数のとき 分極しない通信路が存在する

[Şaşıoğlu, Telatar, and Arıkan 2009]

任意の離散無記憶通信路 W が 有限体 \mathbb{F}_q 上の行列

$$\begin{bmatrix} 1 & 0 \\ 1 & \gamma \end{bmatrix}$$

で分極する 必要十分条件は $\mathbb{F}_p(\gamma) = \mathbb{F}_q$

[Mori and Tanaka 2010]

Matrix with large exponent

もし G が

$$D_0 \leq D_2 \leq \cdots \leq D_{\ell-1} \quad (1)$$

を満たさなかったら G の行を置換することで $E(G') \geq E(G)$ かつ (1) を満たす G' を構成できる

[Korada, Şaşoğlu, and Urbanke 2009]

条件 (1) が成り立っているとき D_i は $\langle g_i, \dots, g_{\ell-1} \rangle$ の最小距離.

よって大きな $E(G)$ を持つ行列を得ることは以下を満たす符号列 C_1, \dots, C_ℓ を得ることと等しい

- C_i : 次元 i 符号長 ℓ の線型符号
- $C_1 \subseteq C_2 \subseteq \cdots \subseteq C_\ell$
- 符号 C_i の最小距離が大きい for $i \in \{1, \dots, \ell\}$

Reed-Solomon 符号はこれらの条件を満たしている

Reed-Solomon matrix [Mori and Tanaka 2010]

Let α be a primitive element of \mathbb{F}_q .

A Reed-Solomon matrix $G_{RS}(q)$ is defined as

$$\begin{matrix} & \alpha^{q-2} & \alpha^{q-3} & \dots & \alpha & 1 & 0 \\ X^{q-1} & 1 & 1 & \dots & 1 & 1 & 0 \\ X^{q-2} & \alpha^{(q-2)(q-2)} & \alpha^{(q-3)(q-2)} & \dots & \alpha^{q-2} & 1 & 0 \\ X^{q-3} & \alpha^{(q-2)(q-3)} & \alpha^{(q-3)(q-3)} & \dots & \alpha^{q-3} & 1 & 0 \\ \vdots & \vdots & \vdots & \dots & \vdots & \vdots & \vdots \\ X & \alpha^{q-2} & \alpha^{q-3} & \dots & \alpha & 1 & 0 \\ 1 & 1 & 1 & \dots & 1 & 1 & 1 \end{matrix}.$$

Submatrix which consists of i th row to the last row is a generator matrix of **extended Reed-Solomon code**.

The size ℓ of RS matrix is q .

Since $G_{RS}(2) = \begin{bmatrix} 1 & 0 \\ 1 & 1 \end{bmatrix}$, RS matrix can be regarded as a generalization of Arıkan's binary matrix $\begin{bmatrix} 1 & 0 \\ 1 & 1 \end{bmatrix}$.

Since $D_i = i + 1$, $E(G_{RS}(q)) = \frac{\log(q!)}{q \log q}$

Exponent of Reed-Solomon matrix

$$E(G_{\text{RS}}(q)) = \frac{\log(q!)}{q \log q}$$

q	2	4	16	64	256
$E(G_{\text{RS}}(q))$	0.5	0.573120	0.691408	0.770821	0.822264

$$\lim_{q \rightarrow \infty} E(G_{\text{RS}}(q)) = 1$$

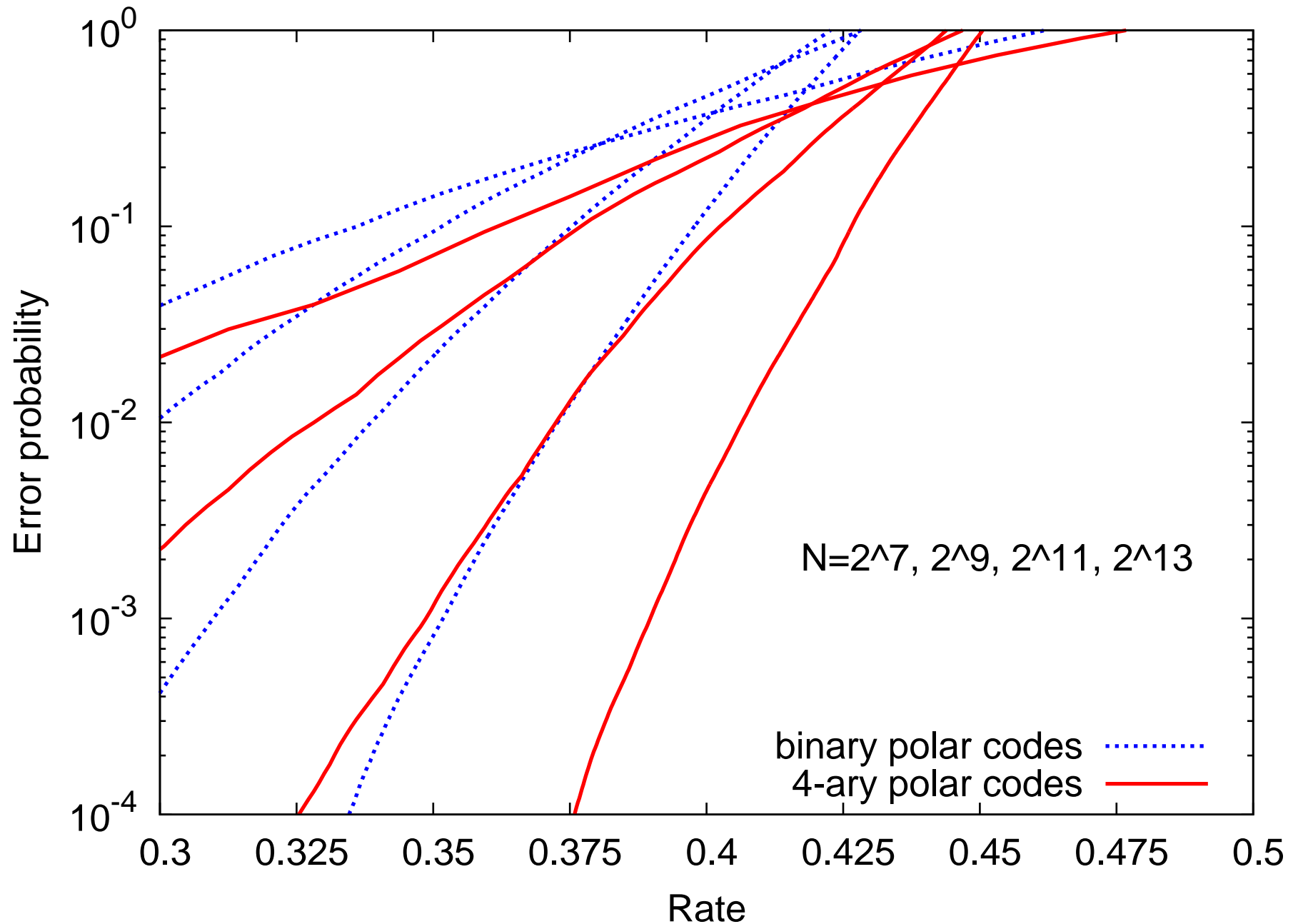
The exponent of **binary** matrix of size smaller than 32 is smaller than 0.55

[Korada, Şaşoğlu, and Urbanke 2009]

Reed-Solomon matrix is useful for obtaining large exponent !

How about the performance for finite blocklength ?

Simulation result on BAWGNC ($I(W) = 0.5$)



Polar codes and Reed-Muller codes: binary case

[Arıkan 2009]

$X : 1 \ 0$

$(X_2, X_1) : (1, 1)(1, 0)(0, 1)(0, 0)$

$$\begin{array}{c}
 X \begin{bmatrix} 1 & 0 \\ 1 & 1 \end{bmatrix} \\
 1
 \end{array}
 \qquad
 \begin{array}{c}
 X_2 X_1 \begin{bmatrix} 1 & 0 & 0 & 0 \\ 1 & 1 & 0 & 0 \\ 1 & 0 & 1 & 0 \\ 1 & 1 & 1 & 1 \end{bmatrix} \\
 X_2 \\
 X_1 \\
 1
 \end{array}
 \begin{array}{l}
 00 \\
 01 \\
 10 \\
 11
 \end{array}$$

Polar rule:

$$\{i \in \{0, \dots, 2^n - 1\} \mid P_e(W^{(i_1) \dots (i_n)}) < \epsilon\}$$

Reed-Muller rule:

$$\{i \in \{0, \dots, 2^n - 1\} \mid i_1 + \dots + i_n > k\}$$

Binary polar codes using $\begin{bmatrix} 1 & 0 \\ 1 & 1 \end{bmatrix}$ and binary Reed-Muller codes are
similar.

Reed-Muller rule maximizes the minimum distance.

Polar codes using RS matrix and Reed-Muller codes: q -ary case

$$\begin{array}{l}
 (X_2, X_1) : (2, 2) (2, 1) (2, 0) (1, 2) (1, 1) (1, 0) (0, 2) (0, 1) (0, 0) \\
 \begin{array}{l}
 X_2^2 X_1^2 \\
 X_2^2 X_1 \\
 X_2^2 \\
 X_2 X_1^2 \\
 X_2 X_1 \\
 X_2 \\
 X_1^2 \\
 X_1 \\
 1
 \end{array}
 \begin{bmatrix}
 1 & 1 & 0 & 1 & 1 & 0 & 0 & 0 & 0 \\
 2 & 1 & 0 & 2 & 1 & 0 & 0 & 0 & 0 \\
 1 & 1 & 1 & 1 & 1 & 1 & 0 & 0 & 0 \\
 2 & 2 & 0 & 1 & 1 & 0 & 0 & 0 & 0 \\
 1 & 2 & 0 & 2 & 1 & 0 & 0 & 0 & 0 \\
 2 & 2 & 2 & 1 & 1 & 1 & 0 & 0 & 0 \\
 1 & 1 & 0 & 1 & 1 & 0 & 1 & 1 & 0 \\
 2 & 1 & 0 & 2 & 1 & 0 & 2 & 1 & 0 \\
 1 & 1 & 1 & 1 & 1 & 1 & 1 & 1 & 1
 \end{bmatrix}
 \begin{array}{l}
 00 \\
 01 \\
 02 \\
 10 \\
 11 \\
 12 \\
 20 \\
 21 \\
 22
 \end{array}
 \end{array}$$

Polar rule: $\{i \in \{0, \dots, q^n - 1\} \mid P_e(W^{(i_1) \dots (i_n)}) < \epsilon\}$

Reed-Muller rule: $\{i \in \{0, \dots, q^n - 1\} \mid i_1 + \dots + i_n > k\}$

Q -ary polar codes using $G_{RS}(q)$ and q -ary Reed-Muller codes are **also similar**.

Hyperbolic rule: $\{i \in \{0, \dots, q^n - 1\} \mid (i_1 + 1) \dots (i_n + 1) > k\}$

Hyperbolic rule maximizes **the minimum distance**
(Massey-Costello-Justesen codes, hyperbolic cascaded RS codes).

Contents

■ Polar 符号と通信路分極現象 [Arıkan 2008]

■ Polar 符号に関する研究紹介 I(polar 符号の性質)

1. Polar 符号の漸近的誤り確率 [Arıkan and Telatar 2008]
2. Polar 符号の $\ell \times \ell$ 行列への一般化 [Korada, Şaşıoğlu, and Urbanke 2009]
3. 密度発展法を用いた polar 符号の構成 [Mori and Tanaka 2009]
4. Polar 符号の compound capacity [Hassani, Korada, and Urbanke 2009]
5. 多元 (素体) polar 符号 [Şaşıoğlu, Telatar, and Arıkan 2009]
6. 多元 (一般の有限体) polar 符号と Reed-Solomon 行列 [Mori and Tanaka 2010]
7. Polar 符号のより詳細な漸近的誤り確率 [Tanaka and Mori 2010] [Hassani and Urbanke 2010] [Hassani, Mori, Tanaka, and Urbanke 2011]
8. Polar 符号の誤り確率のスケーリング [Korada, Montanari, Telatar, and Urbanke 2010] [Hassani, Alishahi, and Urbanke 2010]
9. Polar 符号の重み分布 [Mori and Urbanke]

■ Polar 符号に関する研究紹介 II(復号法とアプリケーション)

Polar 符号のより 詳細な漸近的誤り 確率

[Tanaka and Mori 2010] [Hassani and Urbanke 2010]

[Hassani, Mori, Tanaka and Urbanke 2011]

For $R \in (0, 1)$,

$$\lim_{n \rightarrow \infty} \Pr \left(Z(W_n) \leq 2^{-\ell^n E(G) + \sqrt{n V(G)} Q^{-1}(R/I(W)) + f(n)} \right) = R$$

for any $f(n) = o(\sqrt{n})$ where $\ell^n = N$,

$$Q(x) := \int_x^\infty \frac{1}{\sqrt{2\pi}} e^{-\frac{1}{2}x^2} dx$$

$$E(G) := \frac{1}{\ell} \sum_{i=1}^{\ell} \log_{\ell} D_i(G)$$

$$V(G) := \frac{1}{\ell} \sum_{i=1}^{\ell} (\log_{\ell} D_i(G) - E(G))^2.$$

通信路に依存するビットの数

[Mori 2010 [SITA Newsletter](#)] [Hassani, Mori, Tanaka and Urbanke 2011]

Reed-Muller 符号:

- インデックスの二進展開に 1 の数が多いビットを選ぶ

Polar 符号:

- インデックスの二進展開に従って密度発展法で $P_e(W_N^{(i)})$ を計算し $P_e(W_N^{(i)})$ が小さいものから順に選ぶ

二進展開のうち最初の $\Theta(\log n)$ ビットを通信路に依存して選び、残りの部分を Reed-Muller ルールで選ぶ方法で漸近的に最適な誤り確率を得られる ($2^n = N$)

この手法を繰り返し適用すれば、二進展開のうち最初の $\Theta(\log \log \log \dots \log n)$ ビットだけが通信路に依存する構成法で漸近的に最適な polar 符号が得られる！

Contents

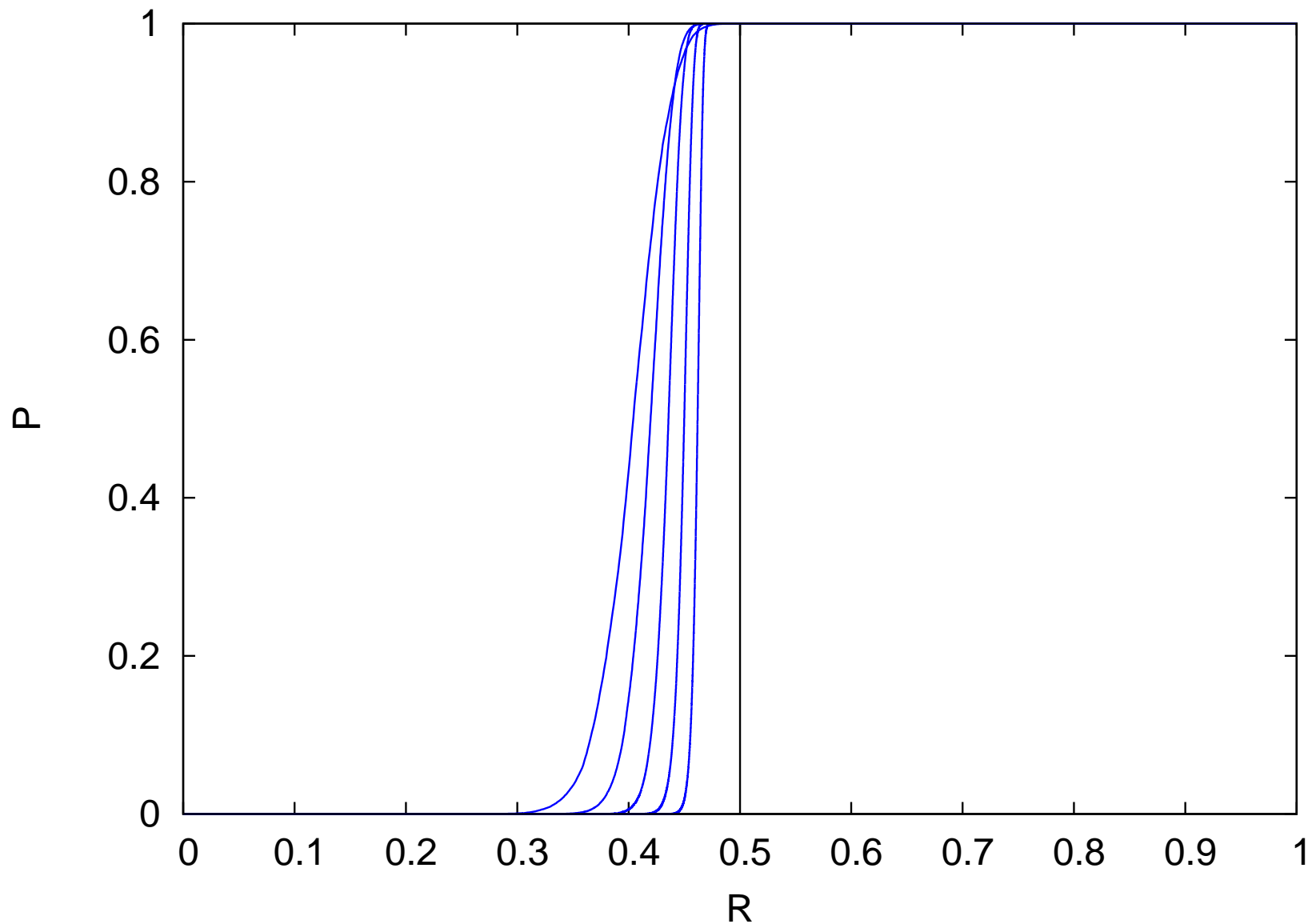
■ Polar 符号と通信路分極現象 [Arıkan 2008]

■ Polar 符号に関する研究紹介 I(polar 符号の性質)

1. Polar 符号の漸近的誤り確率 [Arıkan and Telatar 2008]
2. Polar 符号の $\ell \times \ell$ 行列への一般化 [Korada, Şaşıoğlu, and Urbanke 2009]
3. 密度発展法を用いた polar 符号の構成 [Mori and Tanaka 2009]
4. Polar 符号の compound capacity [Hassani, Korada, and Urbanke 2009]
5. 多元 (素体) polar 符号 [Şaşıoğlu, Telatar, and Arıkan 2009]
6. 多元 (一般の有限体) polar 符号と Reed-Solomon 行列 [Mori and Tanaka 2010]
7. Polar 符号のより詳細な漸近的誤り確率 [Tanaka and Mori 2010] [Hassani and Urbanke 2010] [Hassani, Mori, Tanaka, and Urbanke 2011]
8. Polar 符号の誤り確率のスケーリング [Korada, Montanari, Telatar, and Urbanke 2010] [Hassani, Alishahi, and Urbanke 2010]
9. Polar 符号の重み分布 [Mori and Urbanke]

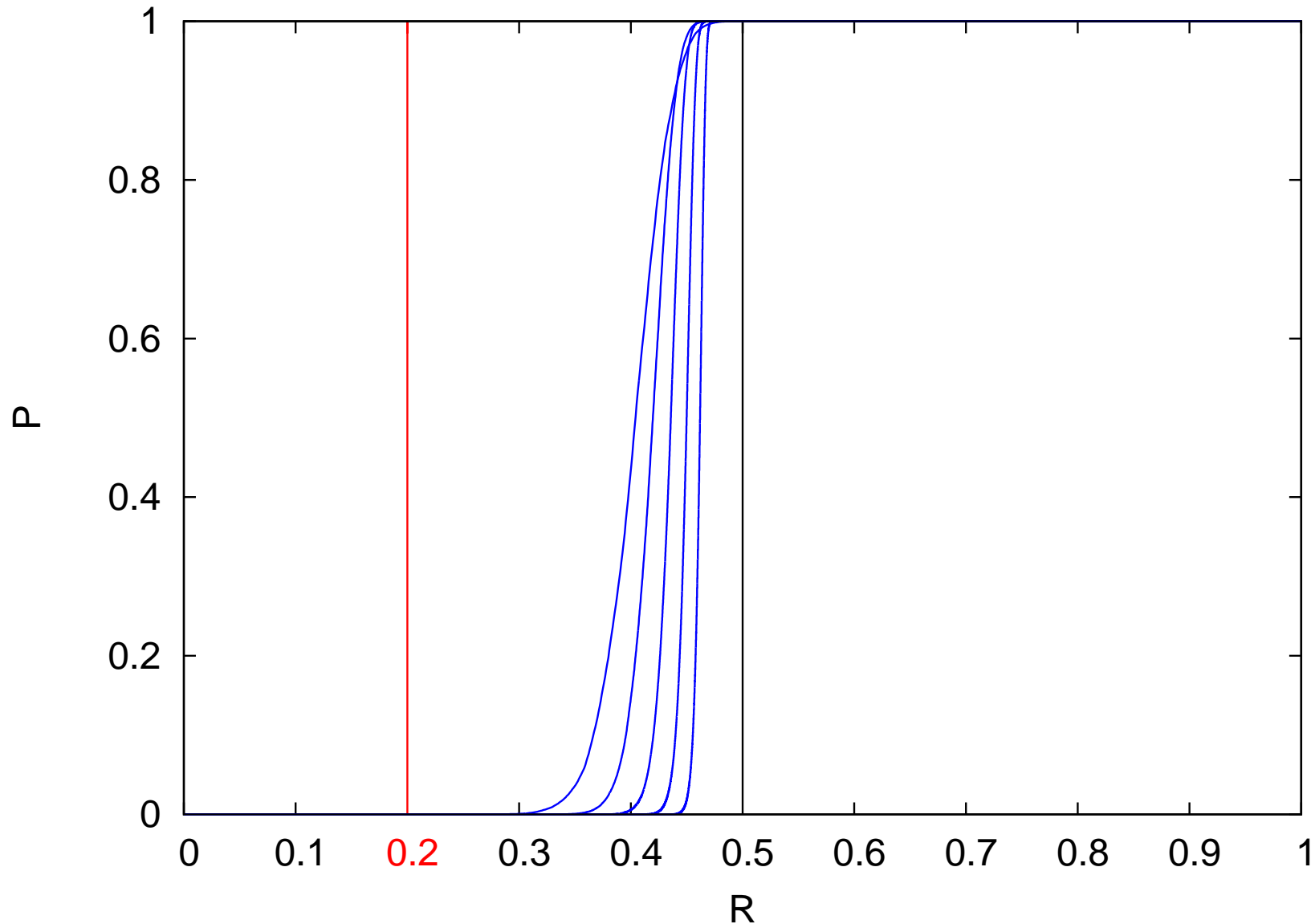
■ Polar 符号に関する研究紹介 II(復号法とアプリケーション)

Polar 符号の誤り 確率 BEC($\epsilon = 0.5$)



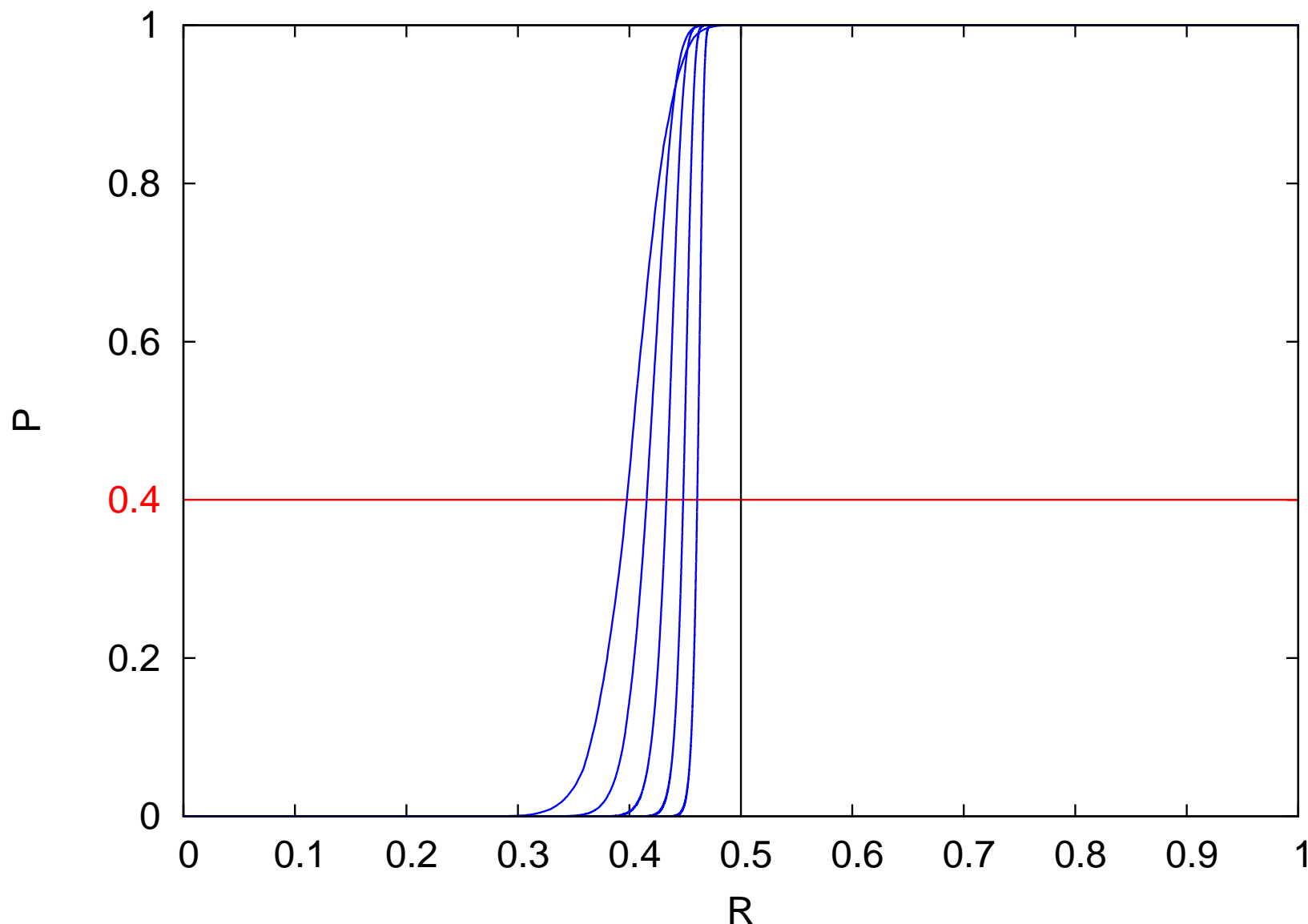
$$N = 2^{10}, 2^{12}, 2^{14}, 2^{16}, 2^{18}$$

Polar 符号の誤り 確率 BEC($\epsilon = 0.5$)



レート を止めて符号長を大きくしたときにどれくらいの
速さで誤り 確率が減少するか \iff Gallager Type の解析

Polar 符号の誤り 確率 BEC($\epsilon = 0.5$)



誤り確率を止めて符号長を大きくしたときにどれくらいの
速さでレートがキャパシティに近づくか \iff Strassen Type の解析

Polar 符号の誤り 確率のスケーリング

[Korada, Montanari, Telatar, and Urbanke 2010]

[Hassani, Alishahi, and Urbanke 2010]

ある固定した $a \in (0, 1)$ について

$$F_N(\epsilon) := \Pr(\epsilon \leq Z(W_n) \leq a)$$

Scaling Assumption:

ある $\mu > 0$ が存在して、任意の $\epsilon \in (0, a]$ について

$$F(\epsilon) := \lim_{N \rightarrow \infty} N^{\frac{1}{\mu}} F_N(\epsilon)$$

が存在する (μ : スケーリングパラメータ)

このとき、

$$F^{-1}(N^{\frac{1}{\mu}}(I(W) - R)) \leq P_e$$

Polar 符号のスケーリングパラメータ

[Korada, Montanari, Telatar, and Urbanke 2010]

[Hassani, Alishahi, and Urbanke 2010]

$$P_e \geq F^{-1}(N^{\frac{1}{\mu}}(I(W) - R))$$
$$NR \leq NI(W) - N^{1-\frac{1}{\mu}}F(P_e)$$

これは Strassen 型の評価

Scaling Assumption より $F_N(\epsilon) = \Theta(N^{-\frac{1}{\mu}})$.

$$-\frac{1}{\mu} = \lim_{n \rightarrow \infty} \frac{1}{n} \log \Pr(a \leq Z(W_n) \leq b)$$

通信路が BEC のときには評価可能で $1/\mu \approx 0.2757$.

AWGC 通信路の場合ガウス近似を使って評価すると $1/\mu \approx 0.2497$.

ランダム符号や LDPC 符号は $1/\mu = 0.5$.

Contents

■ Polar 符号と通信路分極現象 [Arıkan 2008]

■ Polar 符号に関する研究紹介 I(polar 符号の性質)

1. Polar 符号の漸近的誤り確率 [Arıkan and Telatar 2008]
2. Polar 符号の $\ell \times \ell$ 行列への一般化 [Korada, Şaşıoğlu, and Urbanke 2009]
3. 密度発展法を用いた polar 符号の構成 [Mori and Tanaka 2009]
4. Polar 符号の compound capacity [Hassani, Korada, and Urbanke 2009]
5. 多元 (素体) polar 符号 [Şaşıoğlu, Telatar, and Arıkan 2009]
6. 多元 (一般の有限体) polar 符号と Reed-Solomon 行列 [Mori and Tanaka 2010]
7. Polar 符号のより詳細な漸近的誤り確率 [Tanaka and Mori 2010] [Hassani and Urbanke 2010] [Hassani, Mori, Tanaka, and Urbanke 2011]
8. Polar 符号の誤り確率のスケーリング [Korada, Montanari, Telatar, and Urbanke 2010] [Hassani, Alishahi, and Urbanke 2010]
9. Polar 符号の重み分布 [Mori and Urbanke]

■ Polar 符号に関する研究紹介 II(復号法とアプリケーション)

Polar 符号の重み分布

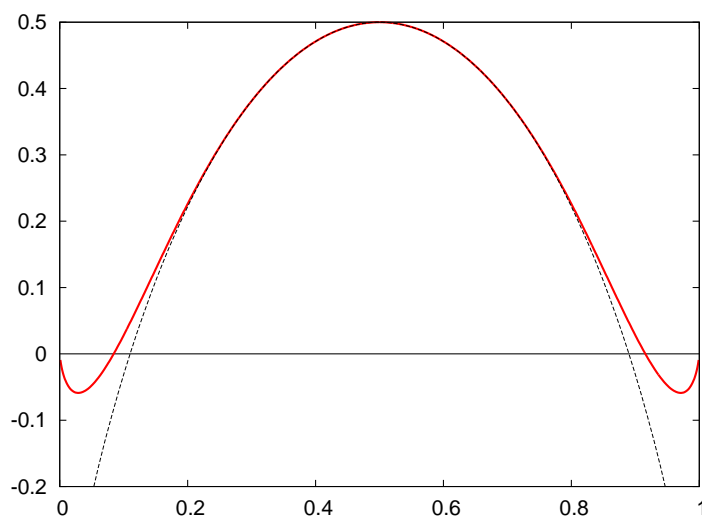
2010 年 10 月 10 日から 10 月 30 日まで EPFL の Urbanke 教授の研究室に滞在

$M(N, w)$: 符号列 $\{C_N\}_{N \in \mathbb{N}}$ について、符号長 N の符号 C_N に含まれる重み w の符号語の数

Growth rate $G(\omega)$:

$$G(\omega) := \lim_{N \rightarrow \infty} \frac{1}{N} \log M(N, \lfloor N\omega \rfloor)$$

for $\omega \in [0, 1]$ (極限の存在は仮定する).

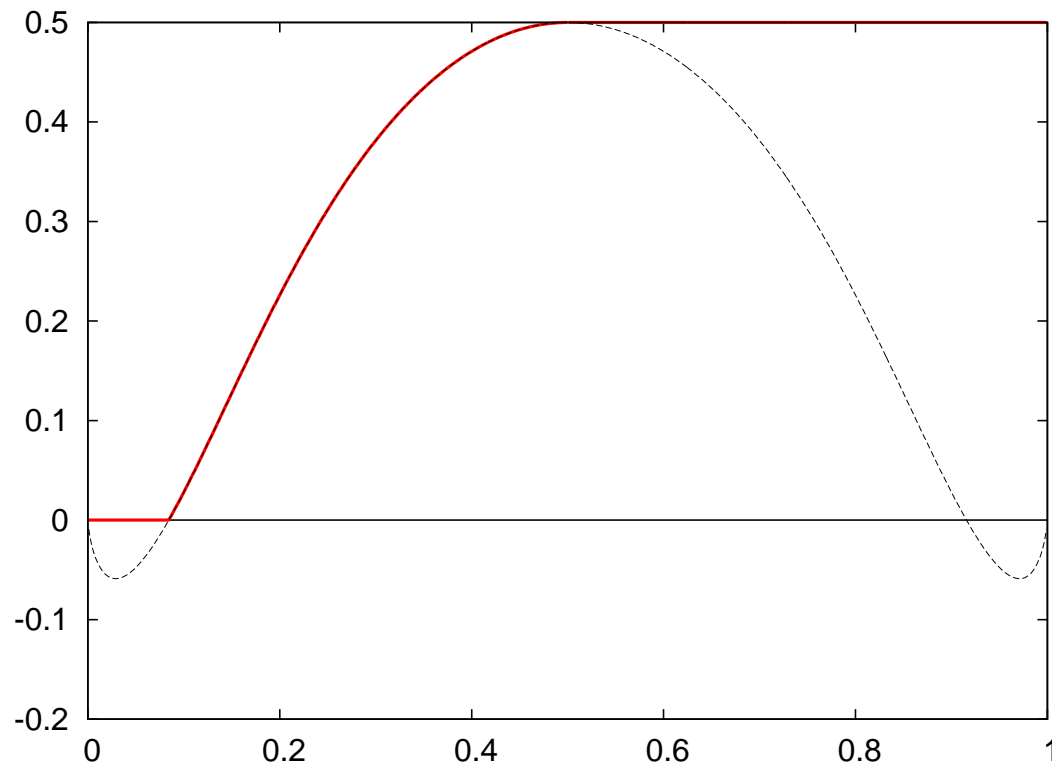


Polar 符号の重み分布

Cumulative growth rate $G(\omega)$ [Mori and Urbanke]:

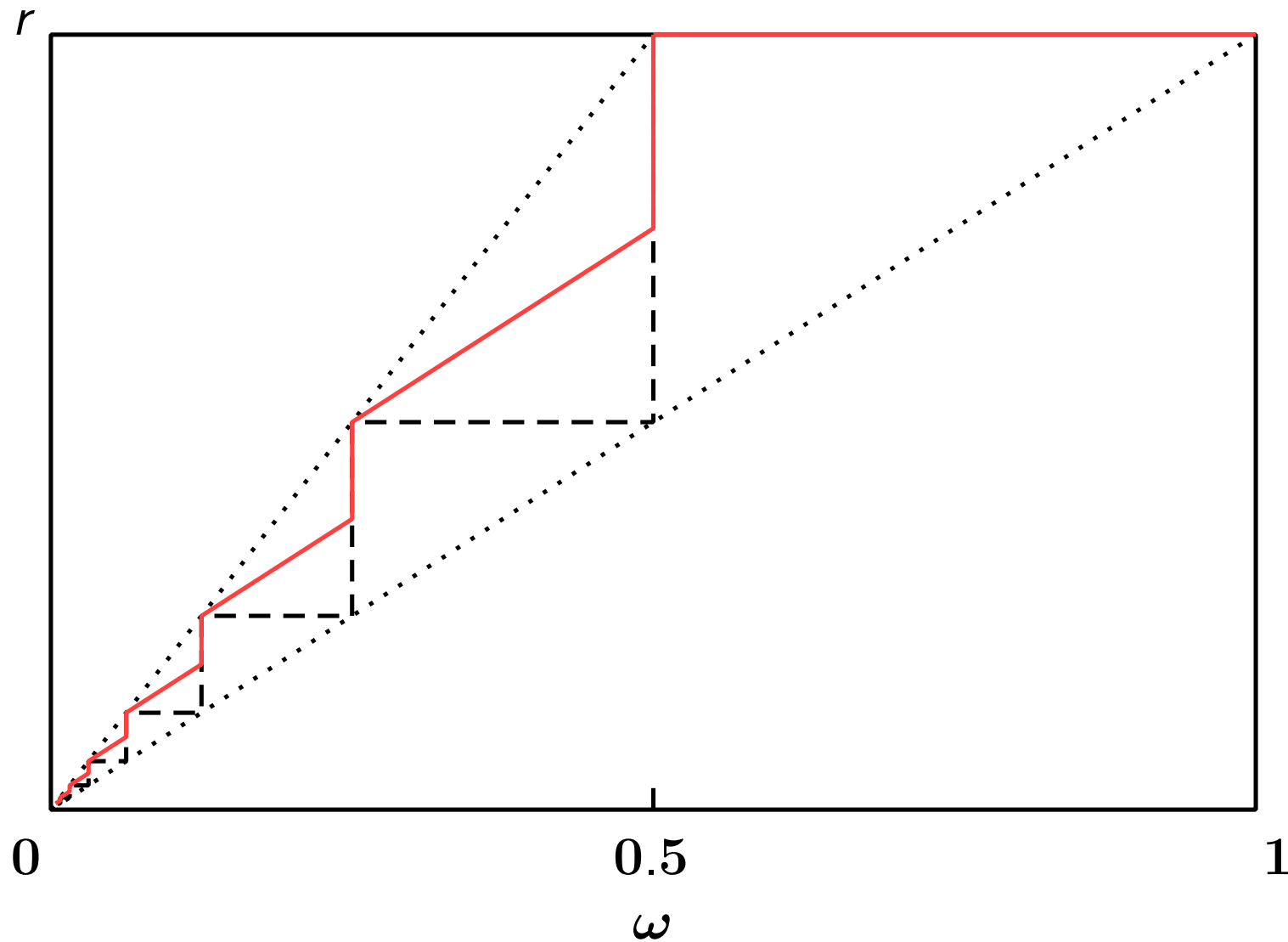
$$G(\omega) := \liminf_{N \rightarrow \infty} \frac{1}{N} \log \sum_{i=0}^{\lfloor N\omega \rfloor} M(N, i)$$

for $\omega \in [0, 1]$.



Polar 符号と Reed-Muller 符号の cumulative growth rate の下界

[Mori and Urbanke]



Contents

■ Polar 符号と通信路分極現象 [Arıkan 2008]

■ Polar 符号に関する研究紹介 I(polar 符号の性質)

1. Polar 符号の漸近的誤り確率 [Arıkan and Telatar 2008]
2. Polar 符号の $\ell \times \ell$ 行列への一般化 [Korada, Şaşıoğlu, and Urbanke 2009]
3. 密度発展法を用いた polar 符号の構成 [Mori and Tanaka 2009]
4. Polar 符号の compound capacity [Hassani, Korada, and Urbanke 2009]
5. 多元 (素体) polar 符号 [Şaşıoğlu, Telatar, and Arıkan 2009]
6. 多元 (一般の有限体) polar 符号と Reed-Solomon 行列 [Mori and Tanaka 2010]
7. Polar 符号のより詳細な漸近的誤り確率 [Tanaka and Mori 2010] [Hassani and Urbanke 2010] [Hassani, Mori, Tanaka, and Urbanke 2011]
8. Polar 符号の誤り確率のスケーリング [Korada, Montanari, Telatar, and Urbanke 2010] [Hassani, Alishahi, and Urbanke 2010]
9. Polar 符号の重み分布 [Mori and Urbanke]

■ Polar 符号に関する研究紹介 II(復号法とアプリケーション)

Contents

■ Polar 符号と通信路分極現象 [Arıkan 2008]

■ Polar 符号に関する研究紹介 I(polar 符号の性質)

■ Polar 符号に関する研究紹介 II(復号法とアプリケーション)

1. 歪み有り圧縮と Wyner-Ziv, Gelfand-Pinsker 問題 [Korada and Urbanke 2009]
2. 歪み無し圧縮と情報源分極 [Arıkan 2010]
3. Wiretap 通信路 [MahdaviFar and Vardy 2010] [Hof and Shamai 2010] [Koyluoglu and El Gamal 2010]
4. 2-user MAC [Şaşoğlu, Telatar, and Yeh 2010], m -user MAC [Abbe and Telatar 2010]
5. Compressed sensing [Pilani, Arıkan, Arıkan 2010]
6. Relay 通信路 (compress-and-forward) [Blasco-Serrano, Thobaben, Rathi, and Skoglund 2010]
7. Polar 符号の構成法 [Tal and Vardy 2010] [Pedarsani, Hassani, Tal, and Telatar 2011]
8. 量子通信路 [Wilde and Guha 2011] [Renes, Dupuis, and Renner 2011]
9. Markov 情報源 [Şaşoğlu 2011]
10. リスト復号 [Tal and Vardy 2011]